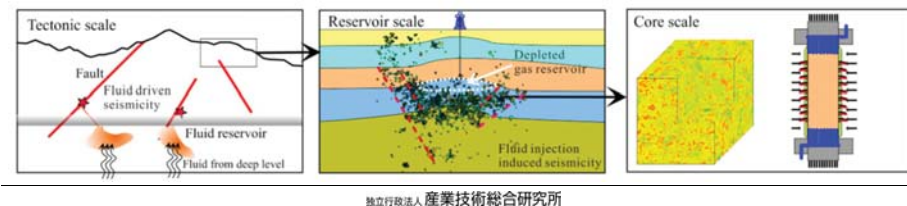


マルチスケールにおけるジオメカニクモデリング

An multiscale approach for geomechanic modelling

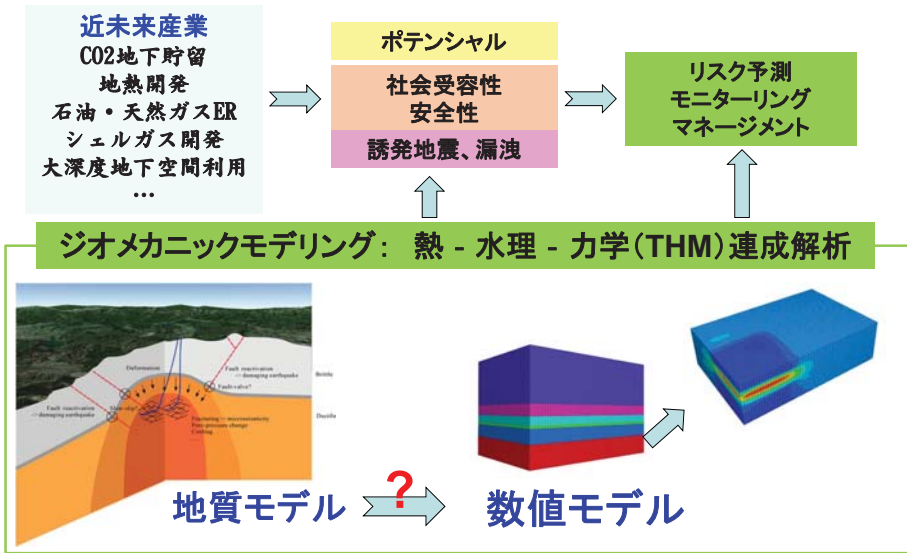
雷 興林

国立研究開発法人 産業技術総合研究所
地図資源環境研究部門
地圈メカニクス研究グループ



1

ジオメカニクモデリングの役割



独立行政法人 産業技術総合研究所

背景

近未来産業
CO₂地下貯留
地熱開発
石油・天然ガスER
シェルガス開発
大深度地下空間利用
...



貯留ポテンシャル
社会受容性
安全性
誘発地震、漏洩

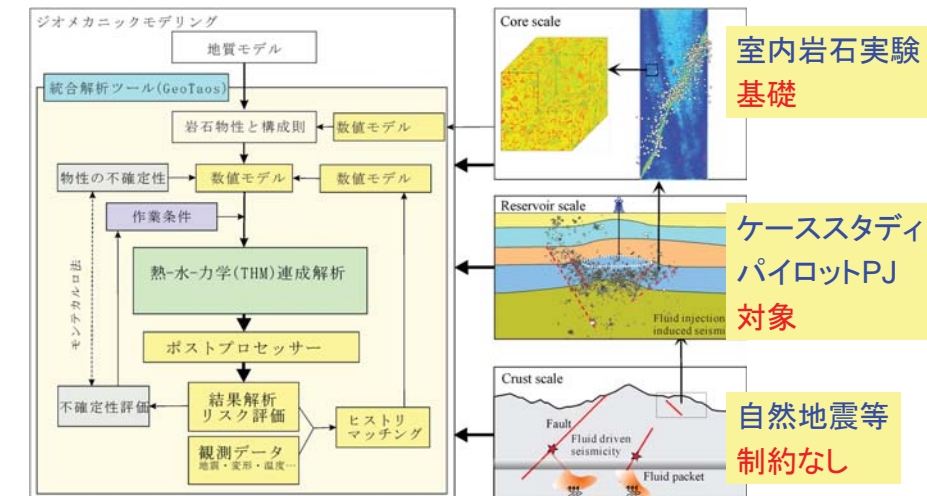


シェルガス開発による誘発地震の例
(Lei et al., 投稿中)



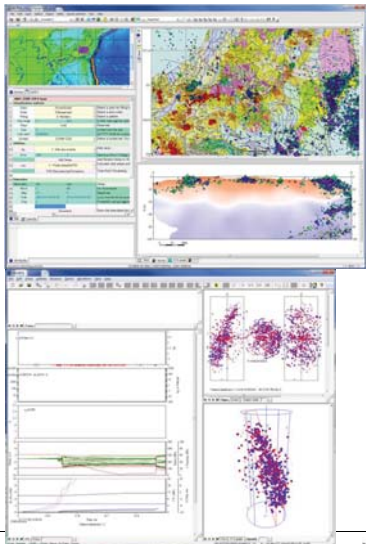
独立行政法人 産業技術総合研究所

マルチスケール・マルチアプローチを統合した ジオメカニクモデリングフレームワーク



独立行政法人 産業技術総合研究所

マルチスケール・マルチアプローチを融合したデータ 解析ツール(GeoTaos)の開発



独立行政法人 産業技術総合研究所

5

実験室スケール(コアスケール)

- ◆ 物性・変形・破壊等に関する構成則の解明
岩石の物性・条件が良くわかる
それを選択・制御することができる
短時間で詳細かつ多様なデータが得られる
要素を分割し系統的に行うことができる
- ◆ 他のスケールの研究との融合により
スケーリング則の解明

独立行政法人 産業技術総合研究所

6

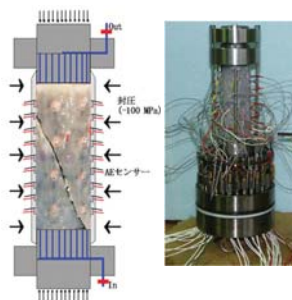
産総研岩石実験装置(一部)



三軸岩石透水(気)実験システム
差圧下、岩石の浸透率・ひずみ・
弾性波速度等同時に測定



三軸岩石クリープ実験



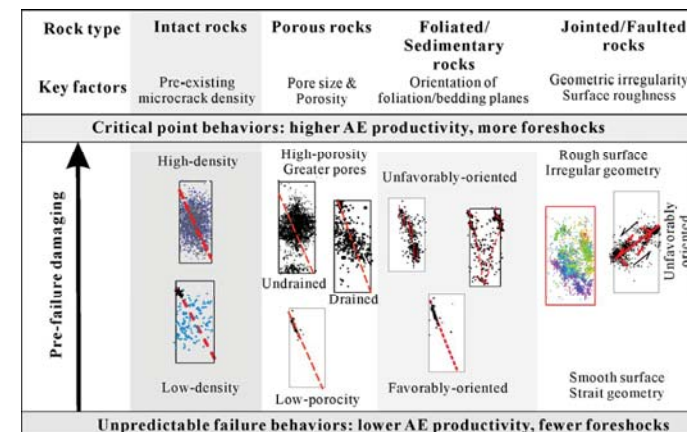
弾性特性・水理特性・AE震源等同時計測

独立行政法人 産業技術総合研究所

7

独立行政法人 産業技術総合研究所

コアスケール研究例: 岩石の破壊を支配する要素



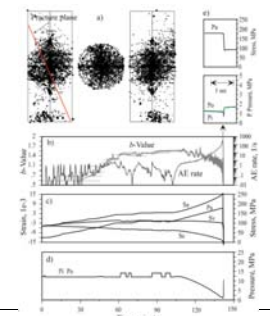
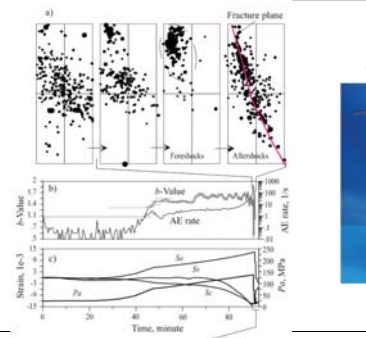
Lei, 投稿中

8

独立行政法人 産業技術総合研究所

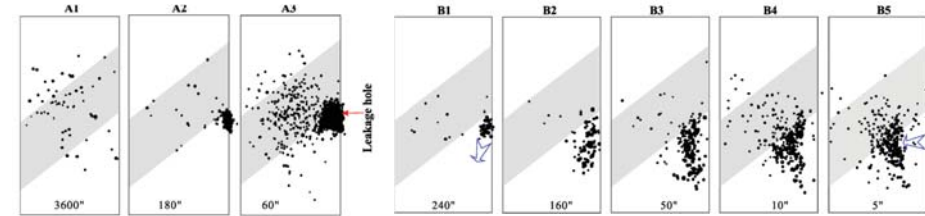
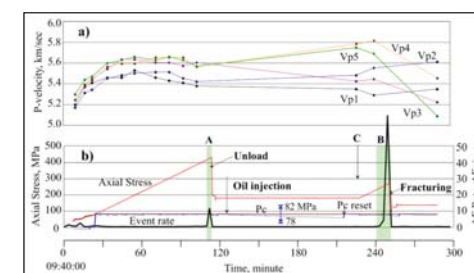
コアスケール研究例: 流体・間隙圧・微小破壊

- 水理条件が重要
- AE・微小破壊が
低い応力下でも発生する
→ 非破壊検査
→ 応力のモニターリング



独立行政法人 産業技術総合研究所

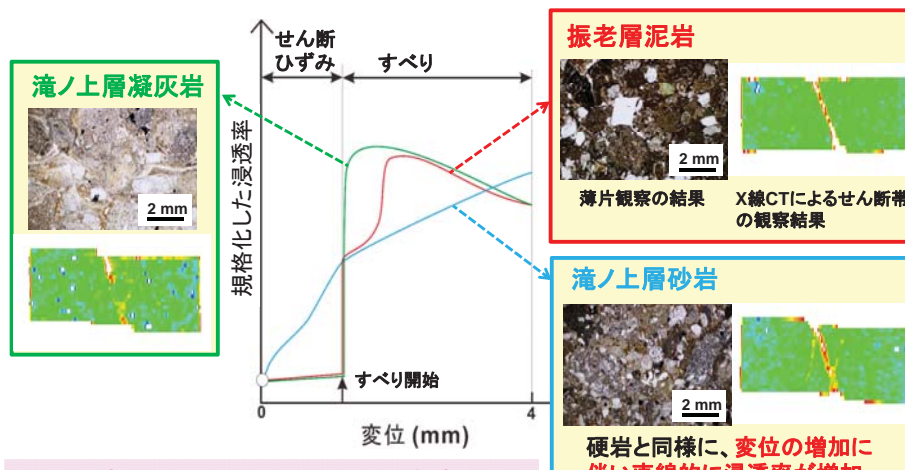
コアスケール研究例: 水圧破壊



Lei, et al., 2015

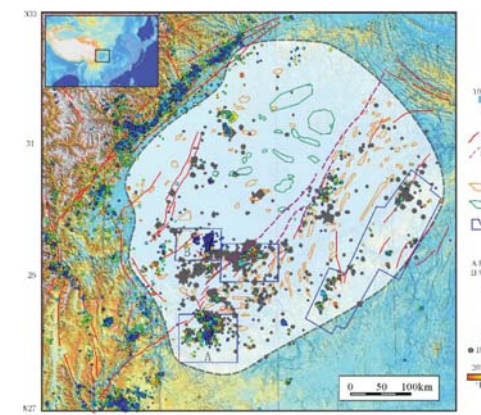
独立行政法人 産業技術総合研究所

コアスケール研究例: き裂形成・すべりに伴う浸透率の変化



独立行政法人 産業技術総合研究所

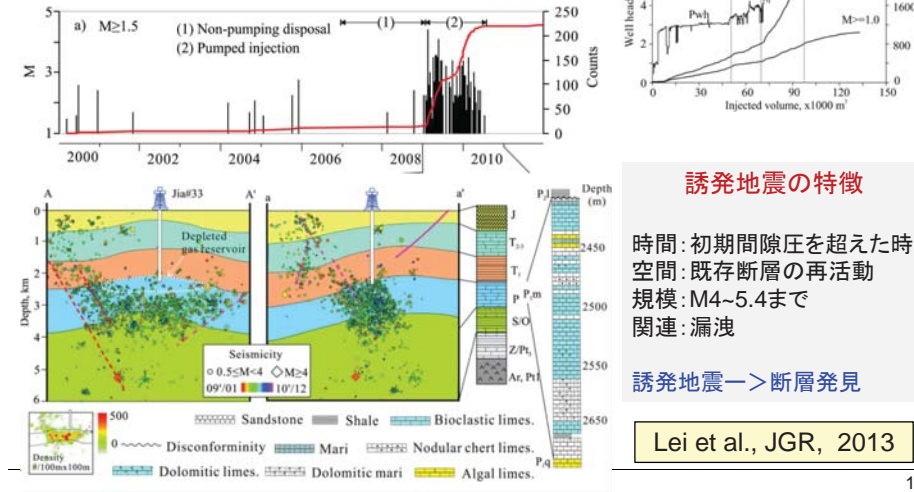
貯留層スケール研究例: 一四川盆地注水誘発地震



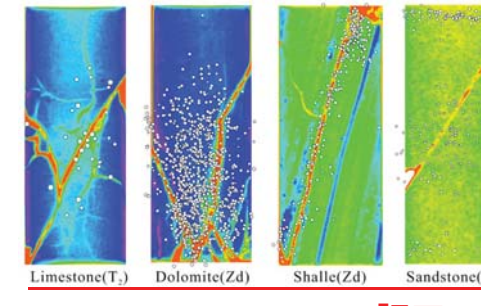
Lei et al., JGR, 2008, 2013, Submitted

独立行政法人 産業技術総合研究所

四川盆地ガス田廃水処分誘発地震



四川盆地注水誘発地震多発！ その理由は？

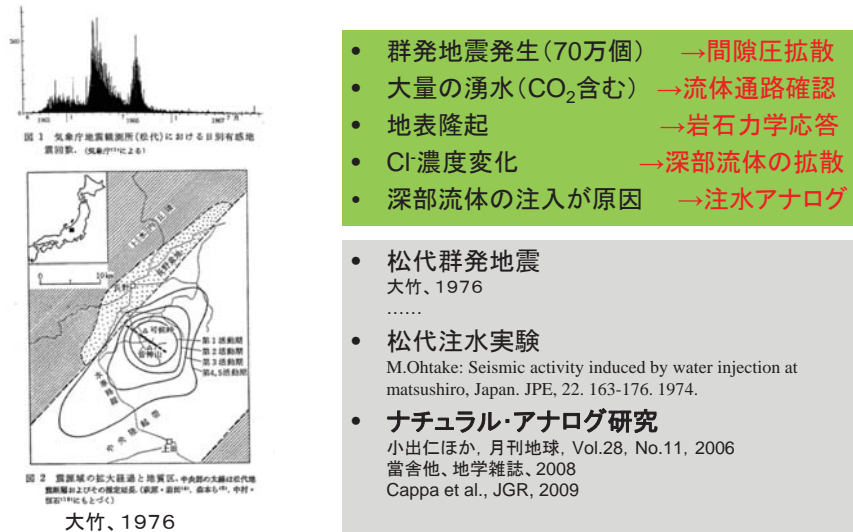


- 主要岩石が脆性的強い
- 地殻全体が固く応力が高い
- 小規模断層存在
高角度逆断層

独立行政法人産業技術総合研究所

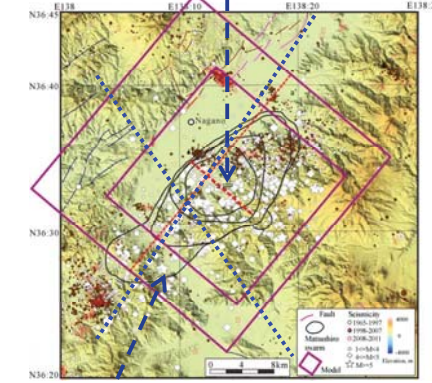
14

ナチュラル・アナログ研究：松代群発地震

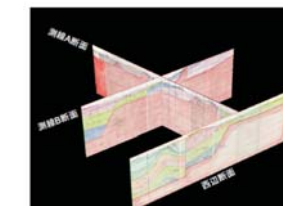
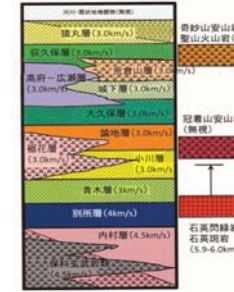


松代の地質モデル

人工注水試験 (1970 防災科学技術センター)



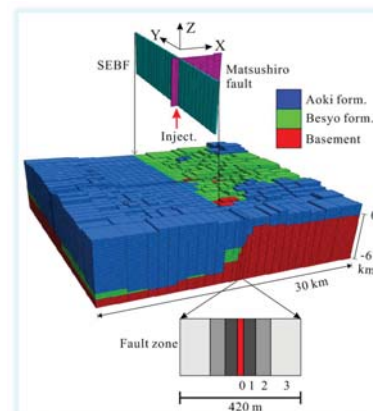
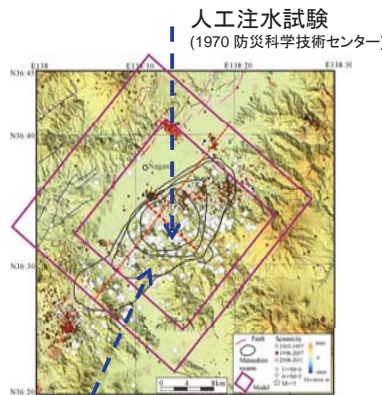
松代群発地震の震源分布とモデル化領域
 松代群発地震は1965年から約5年半続いた群発地震で、
 隆起・高濃度CO₂を含んだ湧水等を伴った。



独立行政法人産業技術総合研究所

16

松代群発地震の地質モデルの数値化



松代群発地震の震源分布とモデル化領域
松代群発地震は1965年から約5年半続いた群発地震で、
隆起・高濃度CO₂を含んだ湧水等を伴った。

出典:産業技術総合研究所. (2014) 平成25年度二酸化炭素回収・貯蔵安全性評価技術開発事業-弾性波探査を補完するCO₂挙動評価技術の開発. 264.

独立行政法人 産業技術総合研究所

17

モデル概要と物性値一覧表

物性	青木層	別所層	基盤	断層
体積弾性率, GPa	1.96	4.42	7.85	3.16
剛性率, GPa	1.55	3.49	6.20	2.42
粘着力, MPa	-	-	-	1.5
引張強度, MPa	-	-	-	0.0
内部摩擦角, deg	-	-	-	28.8
ダイレーション角, deg	-	-	-	20
Biot's係数	0.9	0.8	0.8	0.6
初期浸透率(K_0), m ²	1E-17	1E-18	1E-18	
浸透率(K), m ²	$K = K_0(1+30000*\epsilon_v)$			
間隙率	0.05	0.01	0.01	0.05

微小な亀裂系や
断層の影響を
考慮するため
実測値を基に
アップスケーリング

断層の破壊則
(モールクーロン則)

歪に依存する浸透率

断層ゾーン	0	1	2	3
初期浸透率(K_0), m ²	5E-15	1E-15	8E-16	5E-16
交差部初期浸透率(K_0), m ²	5E-14 2E-13*	1E-14	8E-15	5E-15

独立行政法人 産業技術総合研究所

18

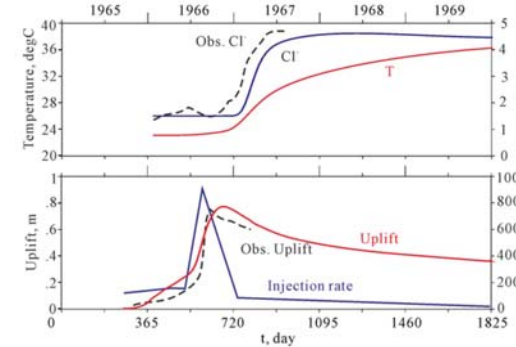
初期条件・境界条件

- 塩濃度
 - 淡水
 - 深度方向線形的に増加
 - 定常流解析結果
 - 繰り返し解析
- 間隙圧: 静水圧
- 温度: 勾配=3°C/100m
- 応力
 - 臨界的: 1MPa程度のCFSで断層破壊
 - 垂直: 岩盤自重
 - 主応力比が深度依存
- 変形
 - 側面: 水平方向を拘束
 - 底面: 垂直方向を拘束
 - 表面: 自由
- 水理
 - 側面・底面流速ゼロ
- 温度:
 - 底面・表面: 初期値に固定
 - 注水: 温度指定

独立行政法人 産業技術総合研究所

19

ヒストリマッチング



地表隆起等の時間変化
観測結果、計算された結果、
及び計算に用いた地下からの水の圧入量。

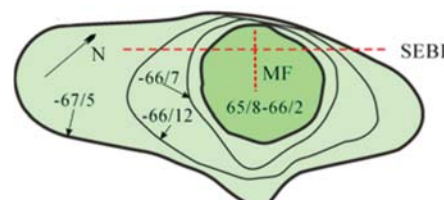
地表変形・Cl⁻濃度を
用いてヒストリマッチング
を行い、未知のイン
ジェクションレートを推
測できた。

独立行政法人 産業技術総合研究所

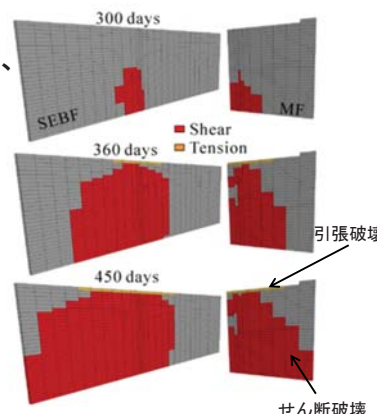
20

結果：破壊域の拡大等の再現

計算された破壊領域の時間的変化は、松代群発地震の震央分布変化(観測値:中心から時間経過と共に拡大)を概ね説明している。



松代群発地震の震央分布域の時間変化
実線は震央分布域:対応する「西暦下2桁/月」をラベルです。
赤色破線は、右の断面SEBFとMFの位置。



計算された断層破壊領域の時間変化
SEBF断面(左)及びMF断面(右)における
計算開始後 300日、360日、450日後の
せん断破壊域(赤色)と引張破壊域(黄色)

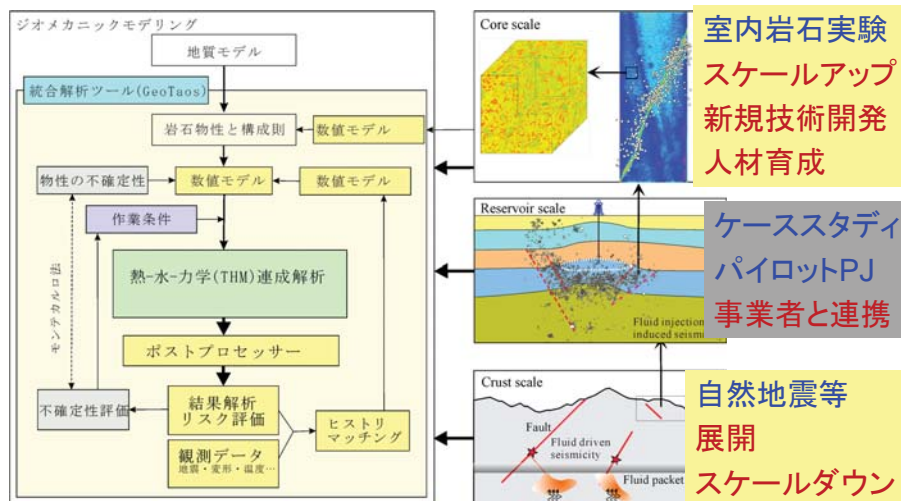
松代ナチュラル・アナログ研究のまとめ

- Tough-FlacによるTHM連成解析の有効性が証明された
- 断層はモール・クーロンの破壊に従う連続体として近似できる
- 断層交差部は流体のバイパス、そのスケールは~10m

断層の振る舞い

- 初期応力に敏感
- その不確定性が大きい
- 微小変動のモニタリングが不可欠
 - 高感度・広域地震観測
 - 光ファイバーによる歪観測

マルチスケールジオメカニクスモデリングの役割を果たすには



ご清聴ありがとうございます



GeoTaos
地之道

